

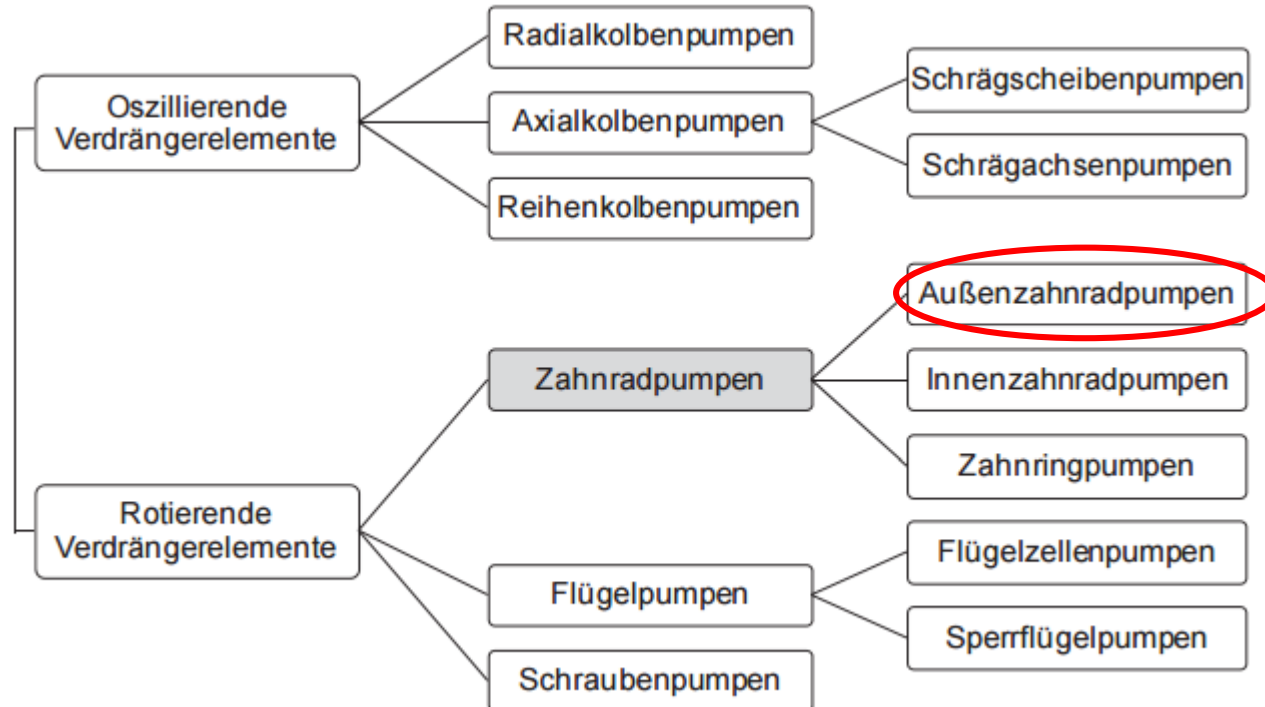
Simulation einer Außenzahnradpumpe mit TwinMesh und ANSYS CFX

Farai Hetze

Technische Universität Berlin

Dr. Andreas Spille-Kohoff, Dipl.-Ing. Jan Hesse
CFX Berlin Software GmbH

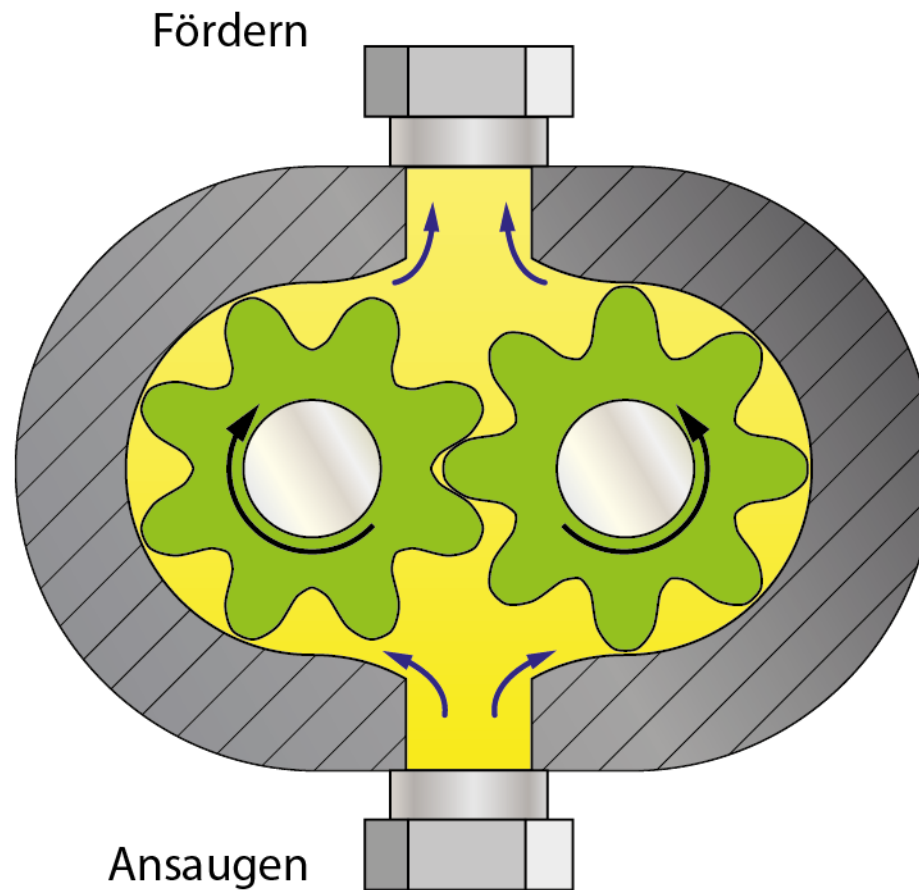
- Einführung in die Zahnradpumpen
- Pre-Processing
 - Geometrie
 - Vernetzung mit TwinMesh und ANSYS ICEM CFD
 - Modellbildung mit dem Full-Cavitation-Model
- Auswertung



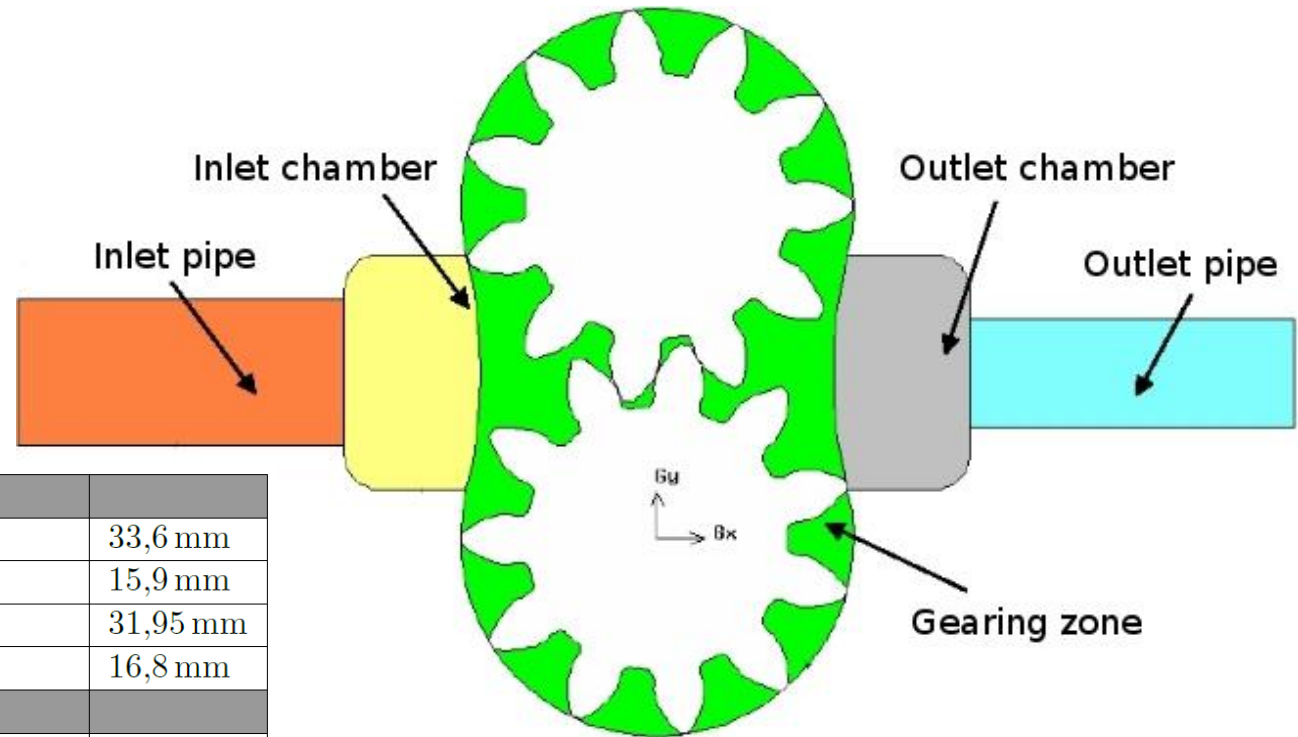
Quelle: Schwarzer, Steffen: Optimierung der Auslegung und des Betriebsverhaltens von hohlradgetriebenen Innenzahnradpumpen.
Ilmenau: Univ.-Verl. Ilmenau, 2013.

Einführung

Funktionsweise einer Außenzahnradpumpe



Quelle: <http://www.dgtb.de/technikunterricht/unterrichtsmaterialien/pumpen/>

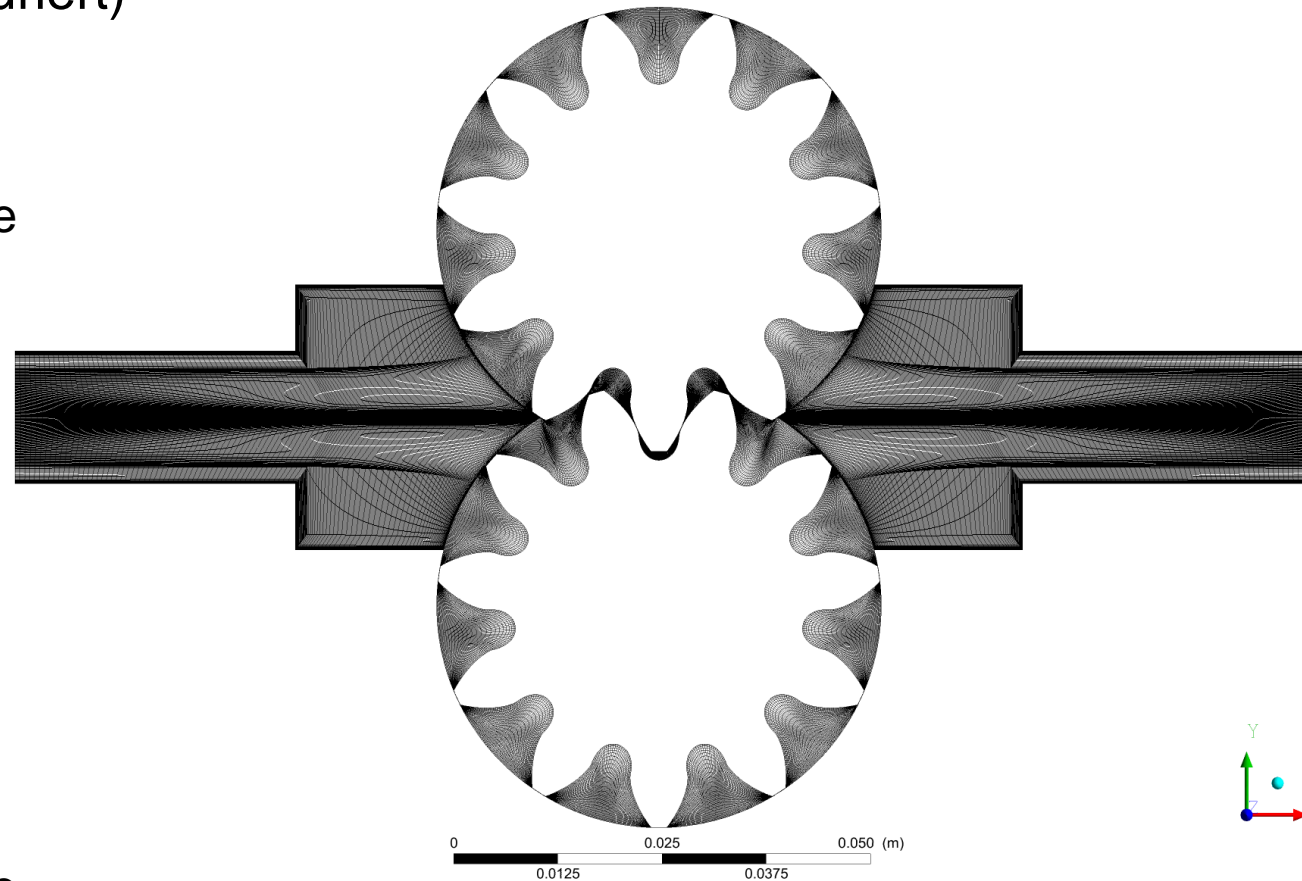


Gehäusegeometrie	
Breite der Rohre	33,6 mm
Länge der Rohre	15,9 mm
Breite der Kammern	31,95 mm
Länge der Kammern	16,8 mm
Zahnräder	
Teilkreisdurchmesser	22,55 mm
Achsabstand	45,1 mm
Zähnezahl	11
Modul	4,1 mm
Eingriffswinkel	23,85°
Geometrisches Verdrängungsvolumen	44 cm³/U

Quelle: del Campo, David: Analysis of the Suction Chamber of External Gear Pumps and their Influence on Cavitation and Volumetric Efficiency, Universitat Politècnica de Catalunya (UPC) 2012.

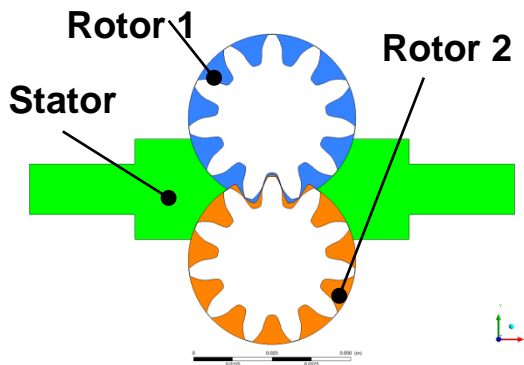
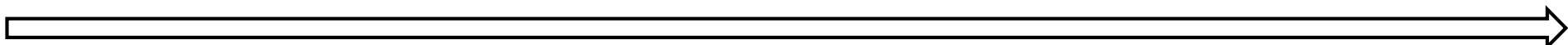
Quasi-2D-Netz (strukturiert)

- Stator
 - 233 260 Knoten
 - 115 384 Elemente
- Rotor 1
 - 94 484 Knoten
 - 45 425 Elemente
- Rotor 2
 - 92 924 Knoten
 - 44 675 Elemente
- Insgesamt
 - 420 668 Knoten
 - 205 484 Elemente

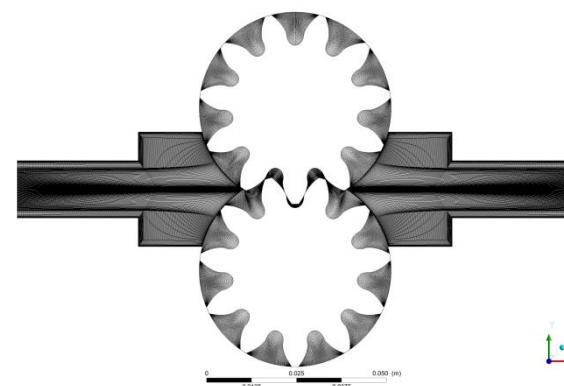


- TwinMesh ist eine neue Software für die automatische Generierung von strukturierten Rechengittern mit hoher Qualität für Rotationsverdrängermaschinen

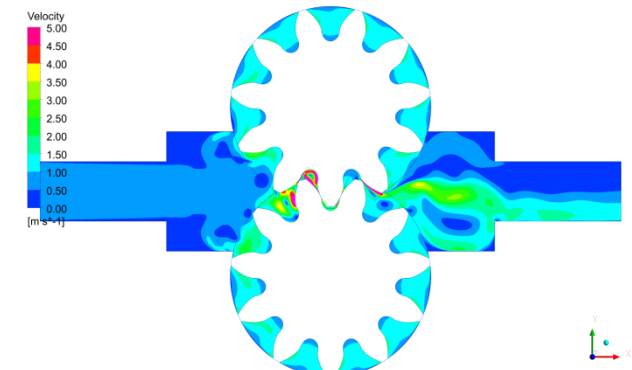
Simulation Workflow



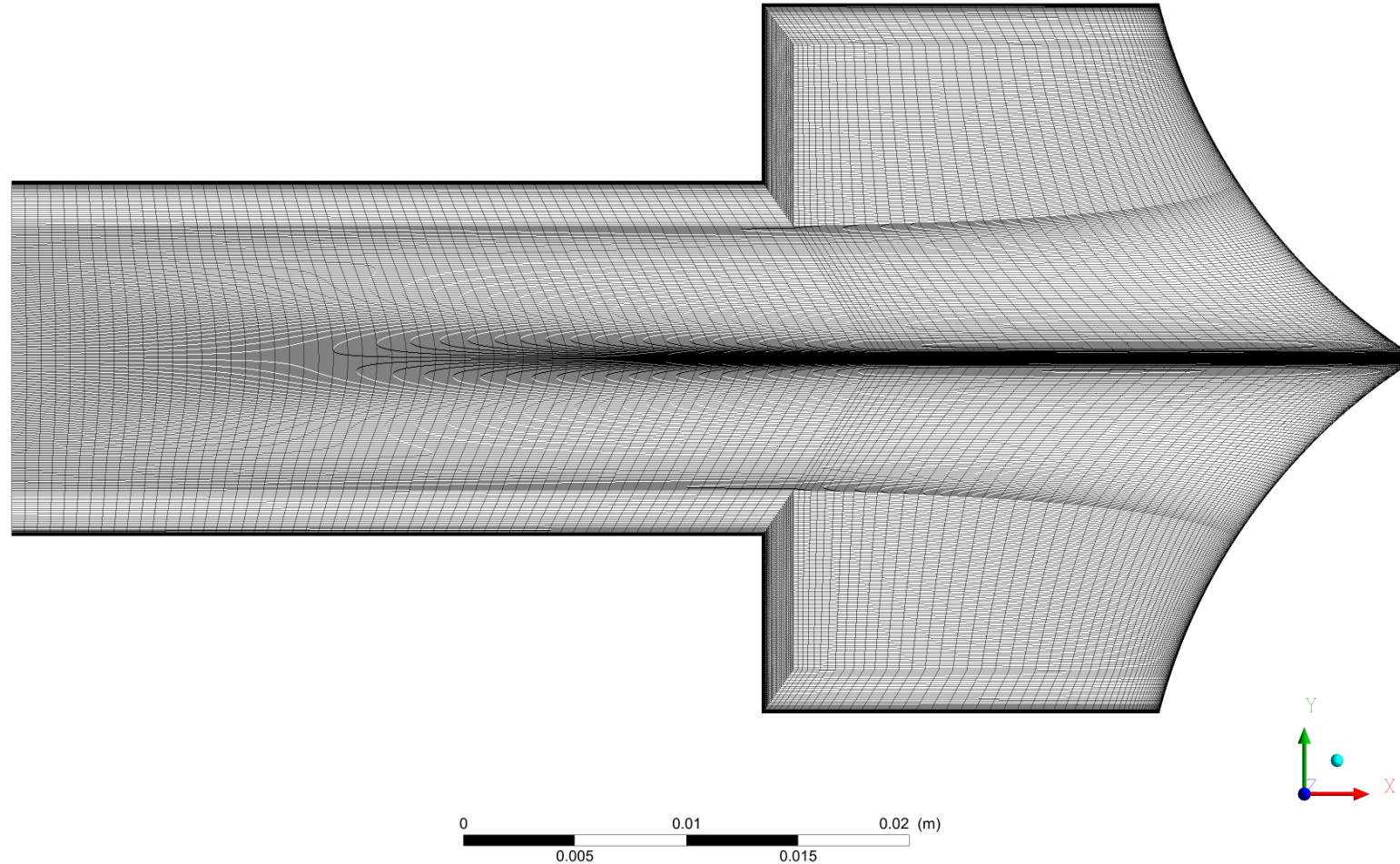
Aufteilen der
Simulationsdomains in
statische und
rotierende Teile



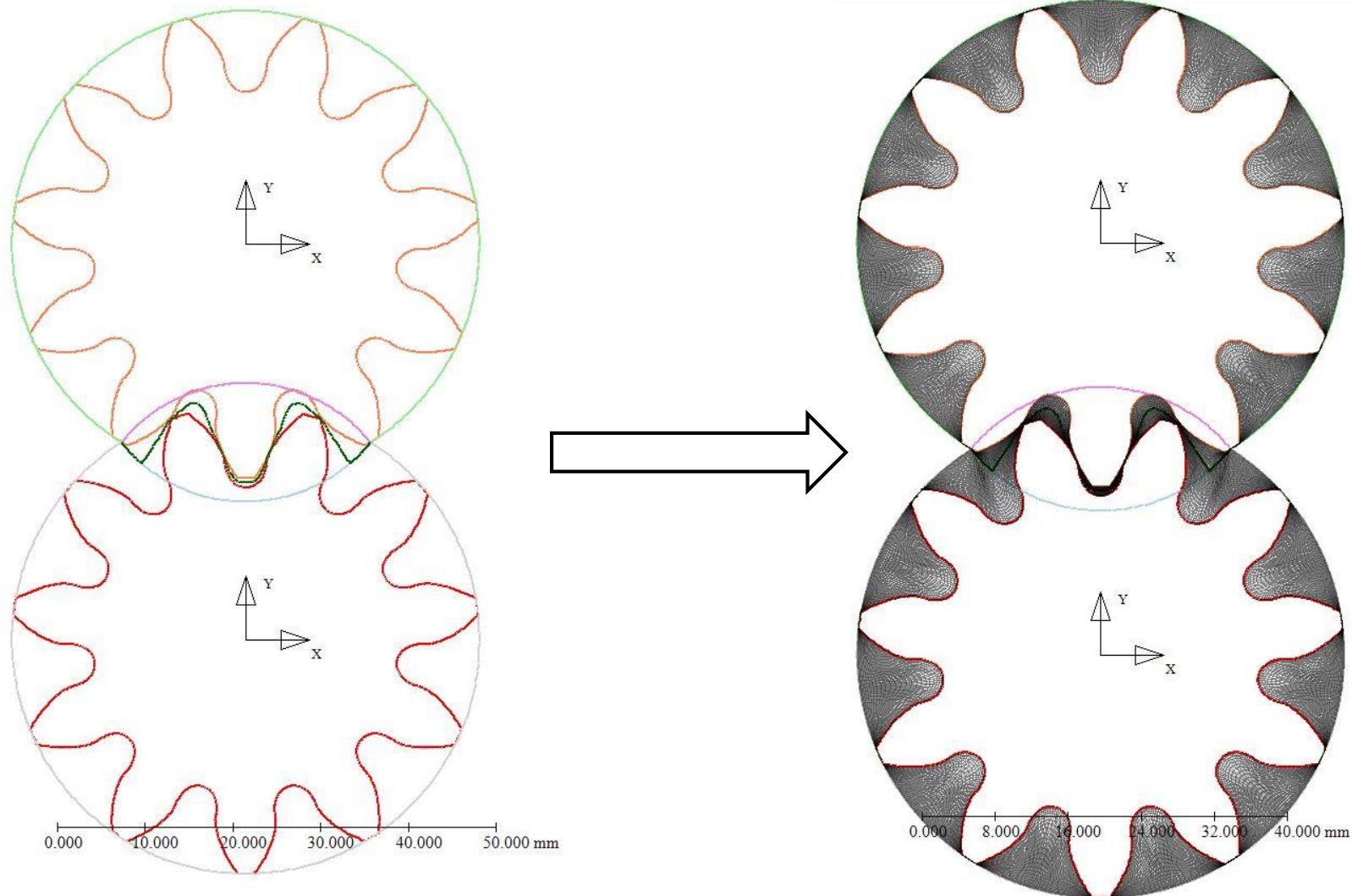
Netzerzeugung für die Rotoren
mit TwinMesh und ANSYS
ICEM CFD für den Stator



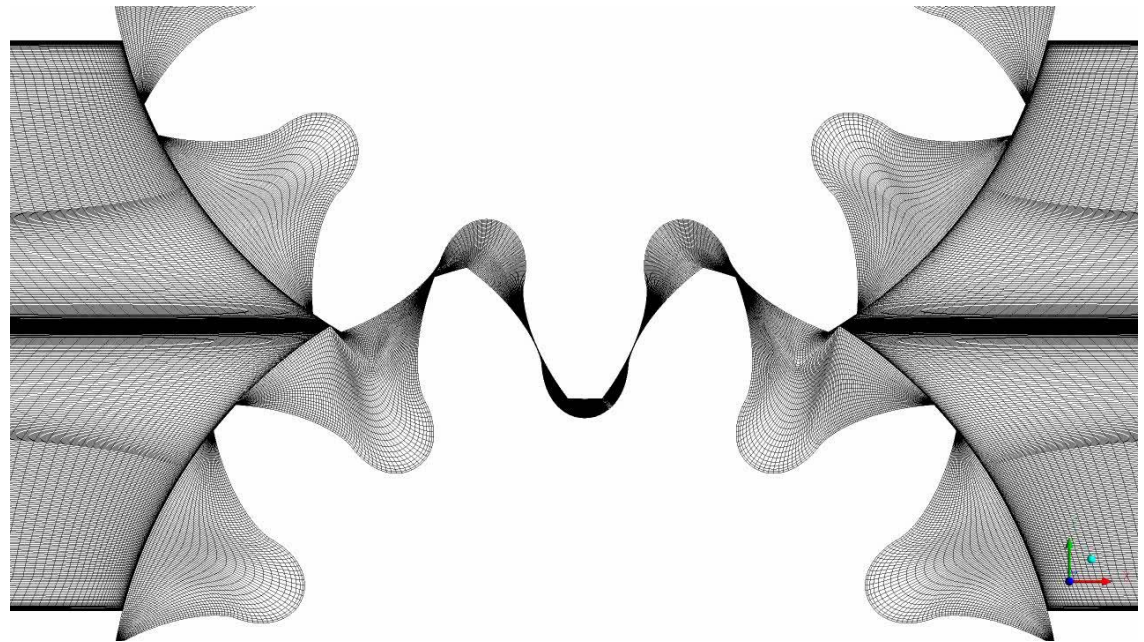
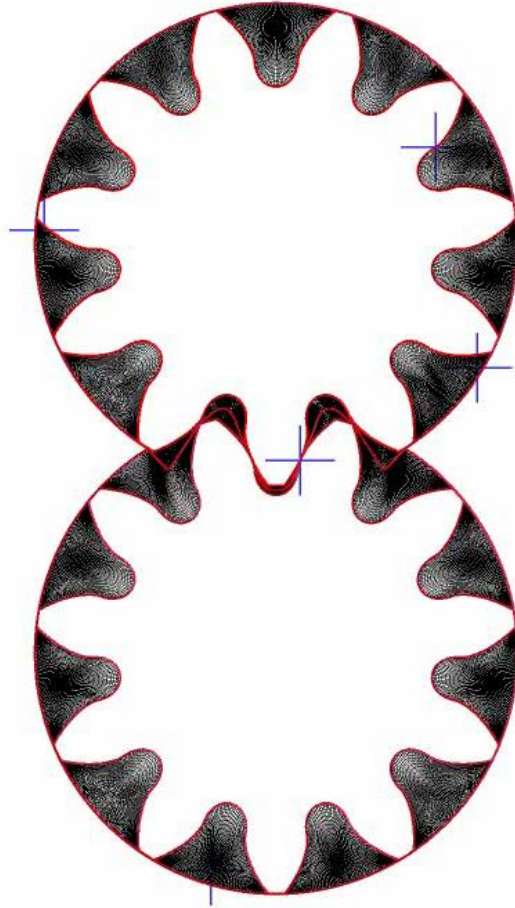
Numerische
Simulation mit ANSYS
CFX

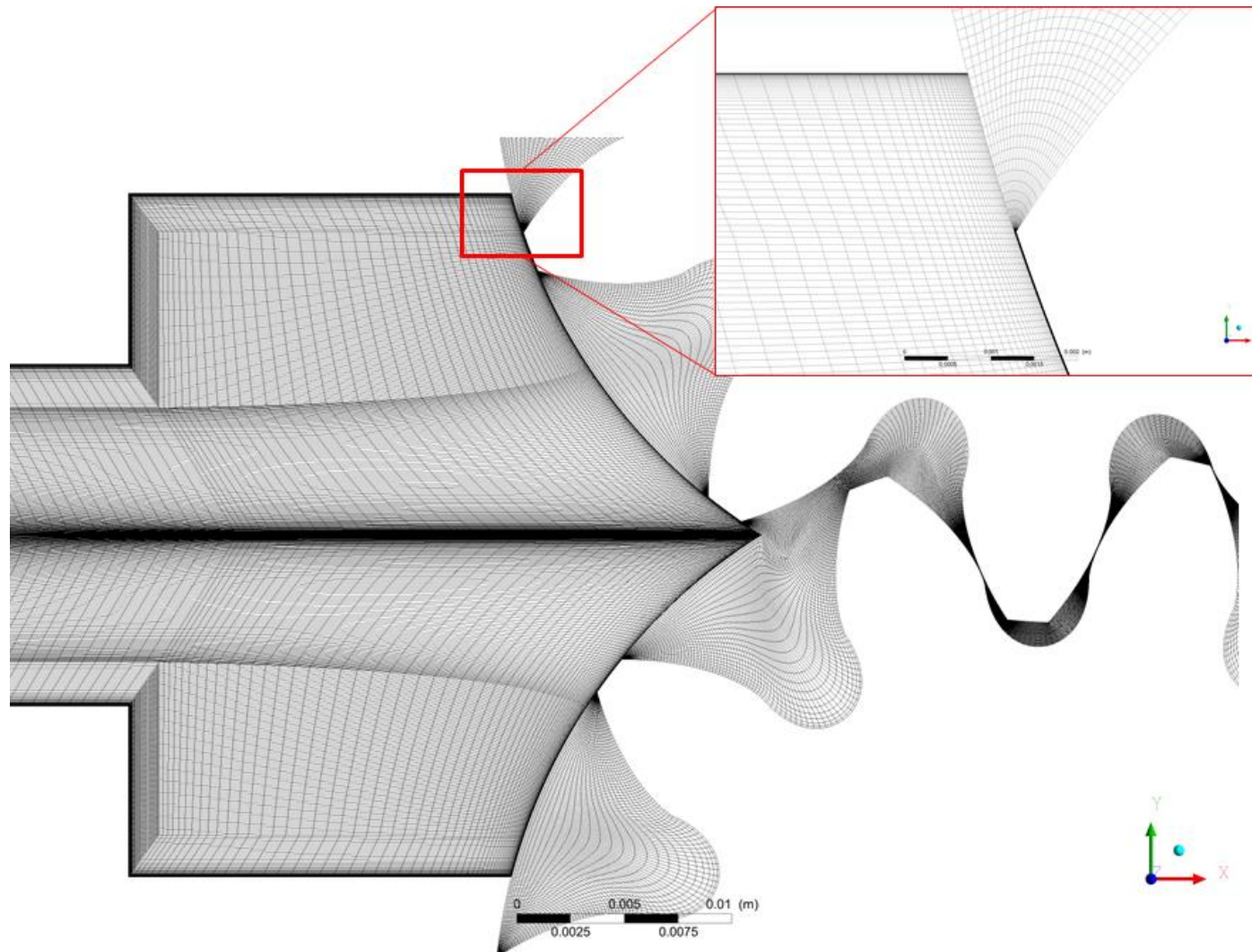


Vernetzung Rotoren



Vernetzung Knotenbewegung

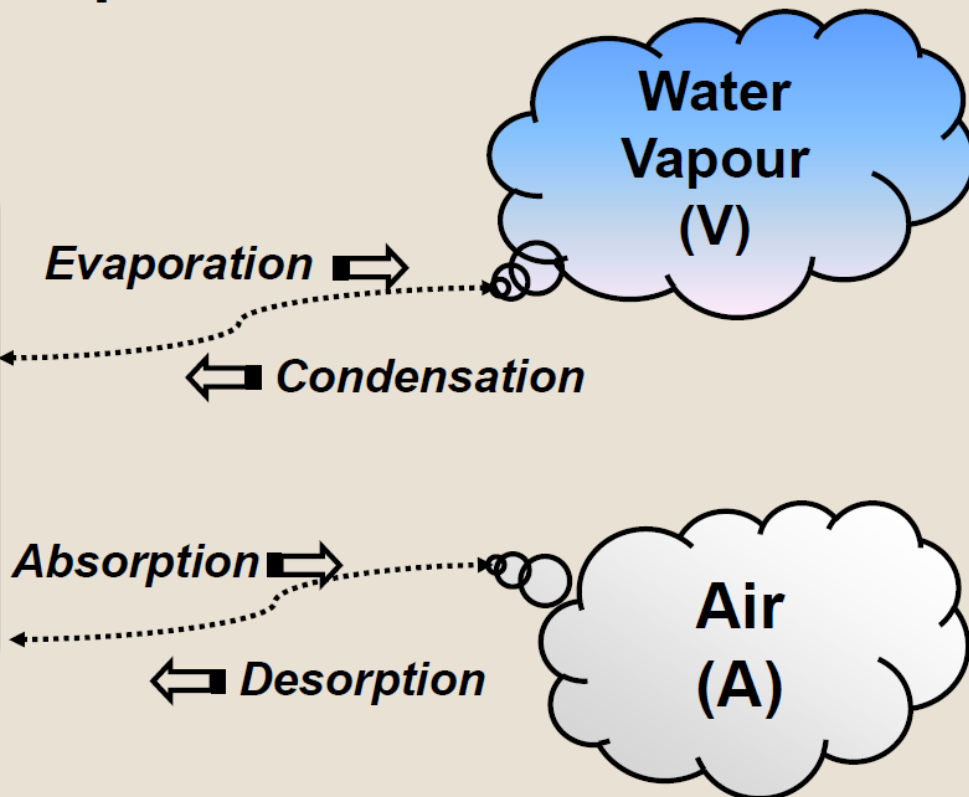
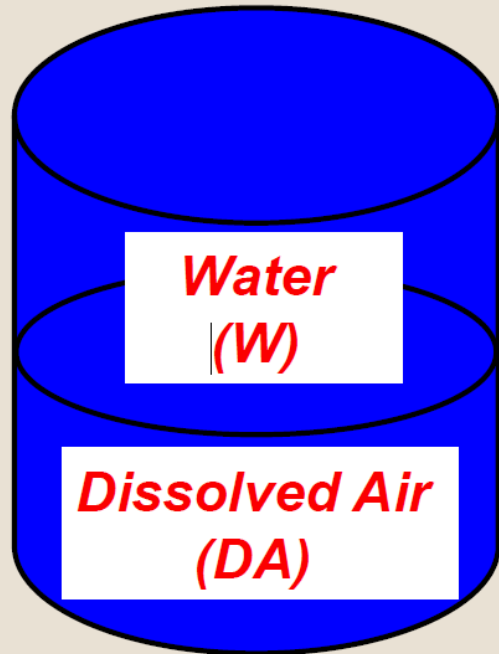




Three phase flow: $r_L + r_V + r_A = 1.0$

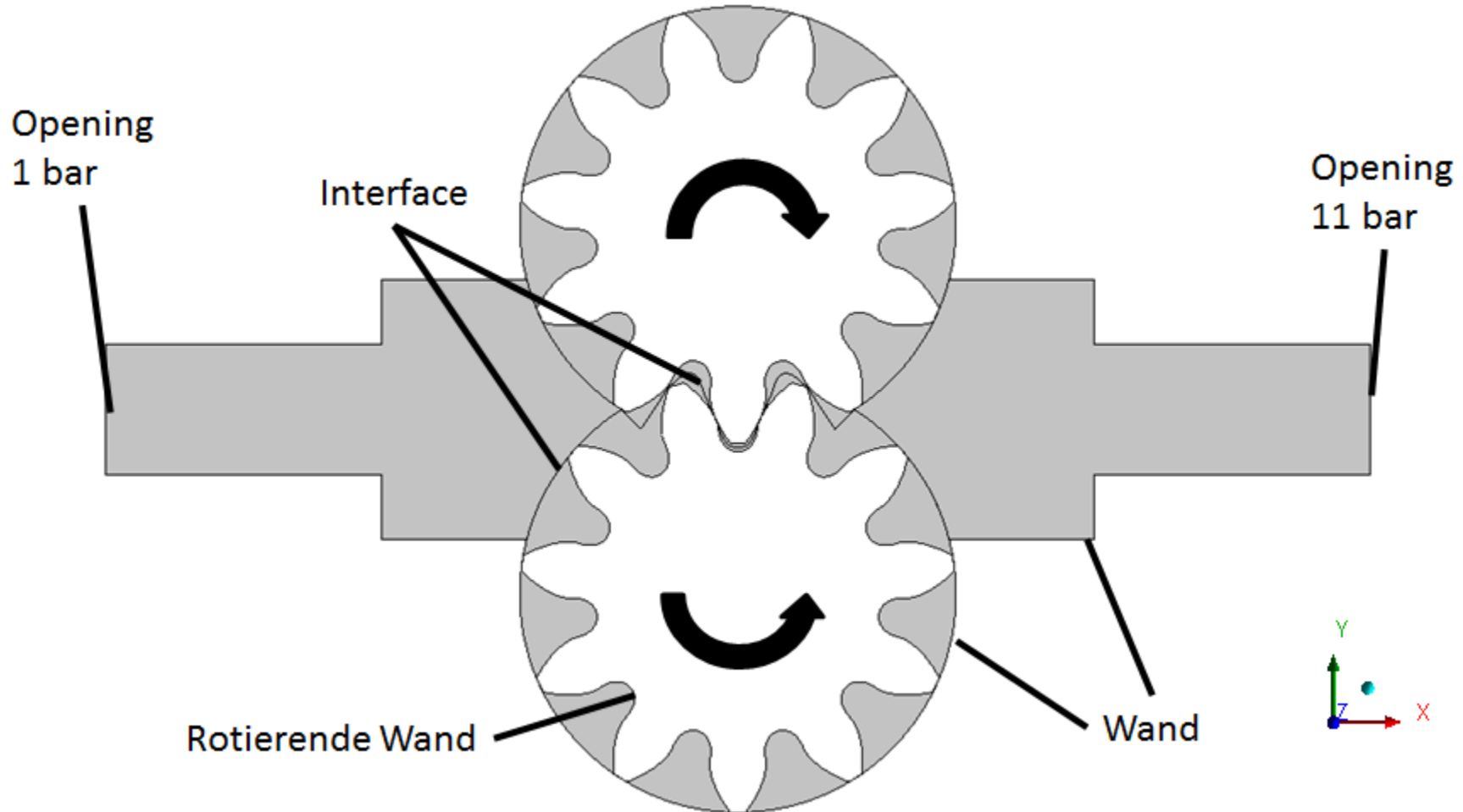
Multicomponent Liquid Phase:

$$Y_W + Y_{DA} = 1.0$$



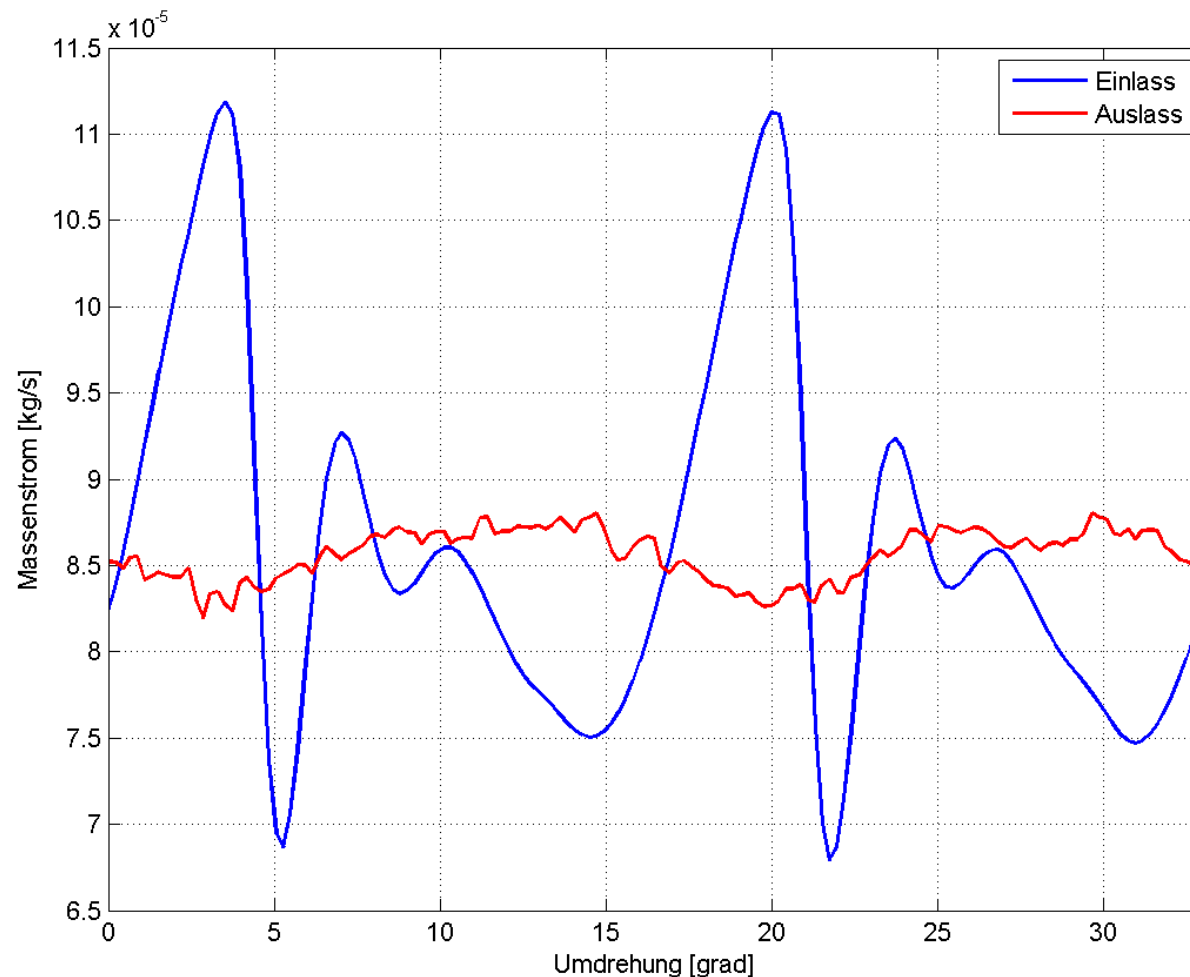
Liquid Phase (L)

Modellbildung Randbedingungen

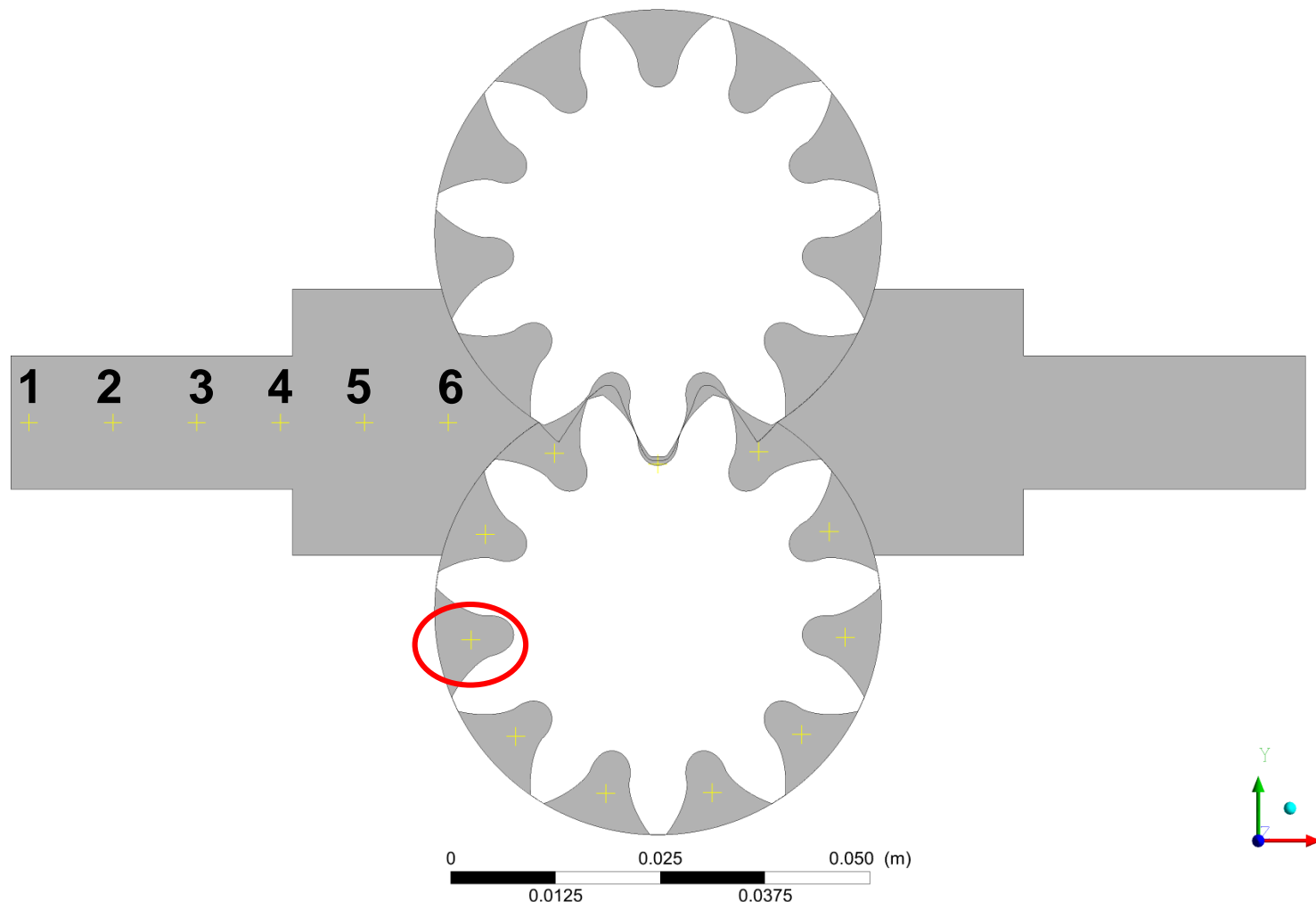


- Randbedingungen:
 - Einlass (opening): Druck(abs) = 1 bar
 - Auslass (opening): Druck(abs) = 11 bar
- Medium: Wasser
- Drehzahl: 500 U/min
- Modellbildung
 - Full Cavitation Model
 - Liquid (Wasser + gelöste Luft (1.5e-5 Massenfraktion), kompressibel)
 - Luft (ideales Gas, 25 °C)
 - Wasserdampf (ideales Gas, 25 °C)
 - Initial nur flüssige Phase (Liquid) vorhanden
 - Turbulenz (SST-Modell)
- 150 Netze / Zahn
- Winkelschritt 0,218°

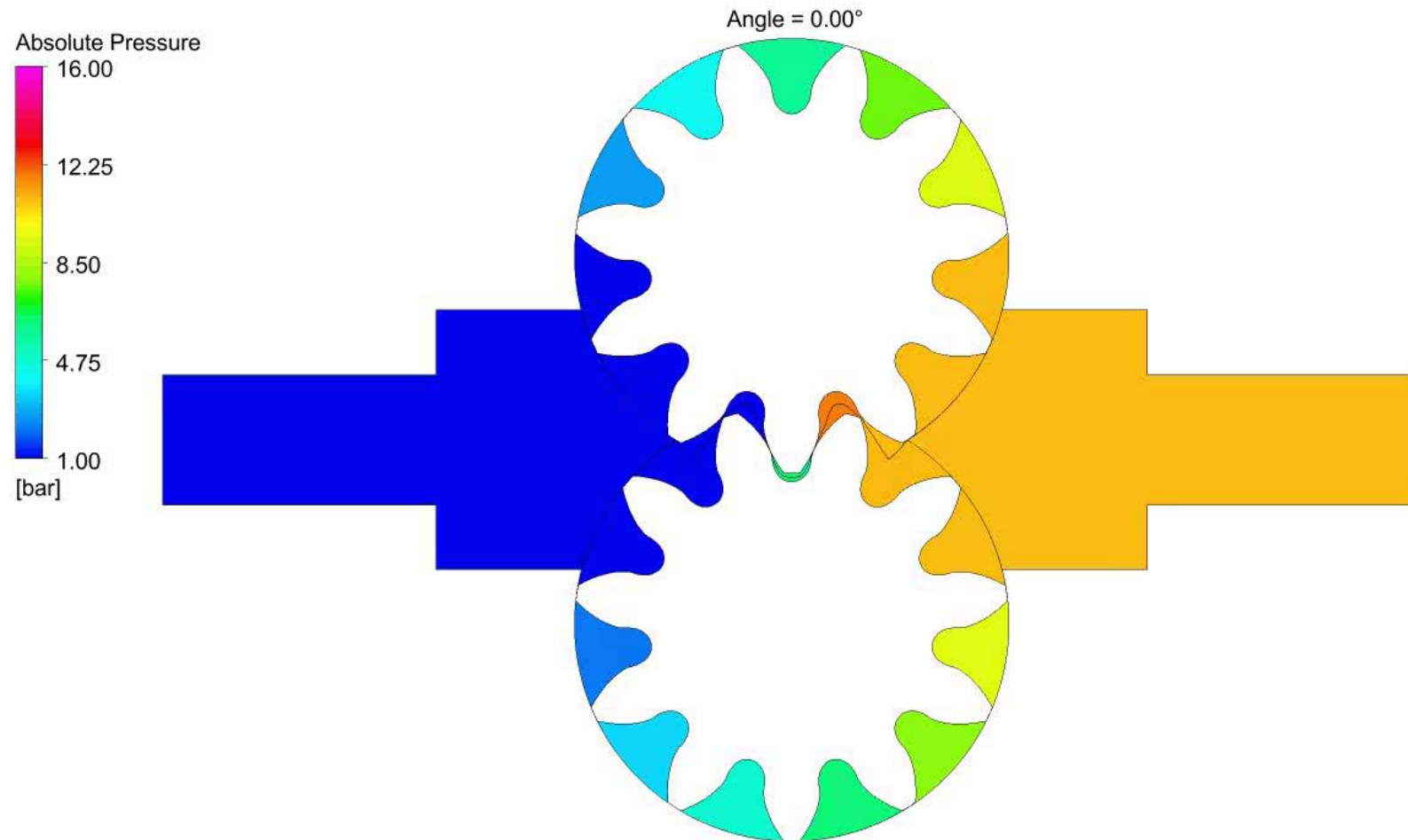
Auswertung Massenströme



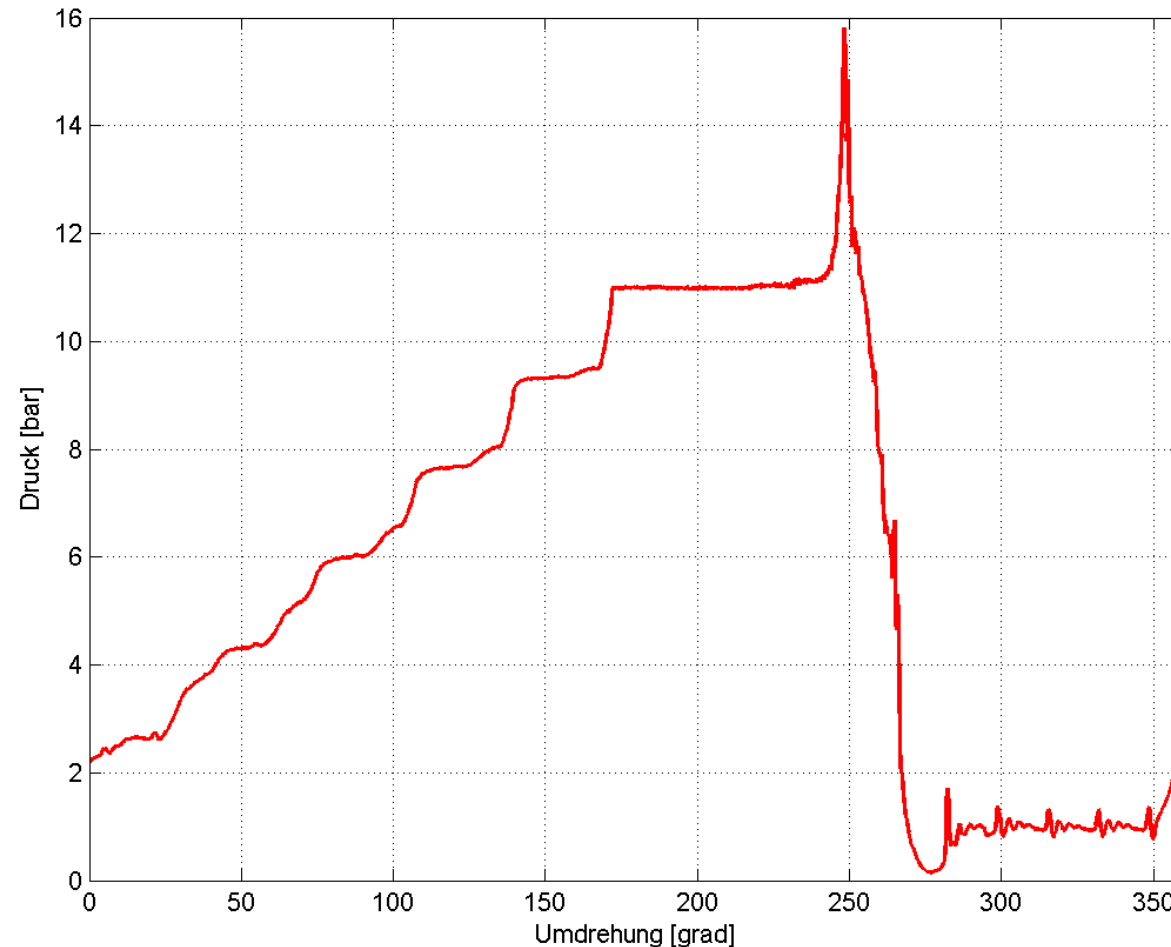
Auswertung Drucksonden



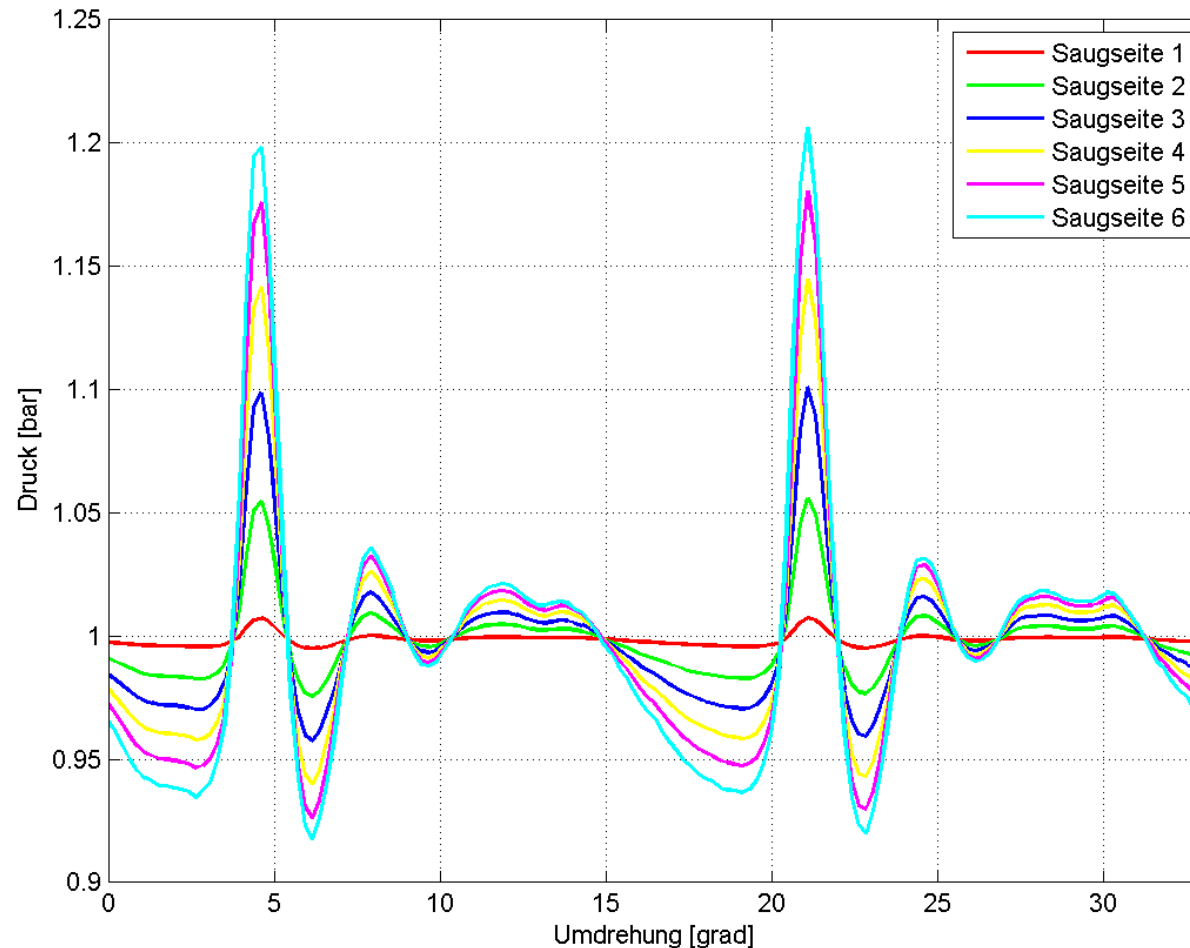
Auswertung Druck



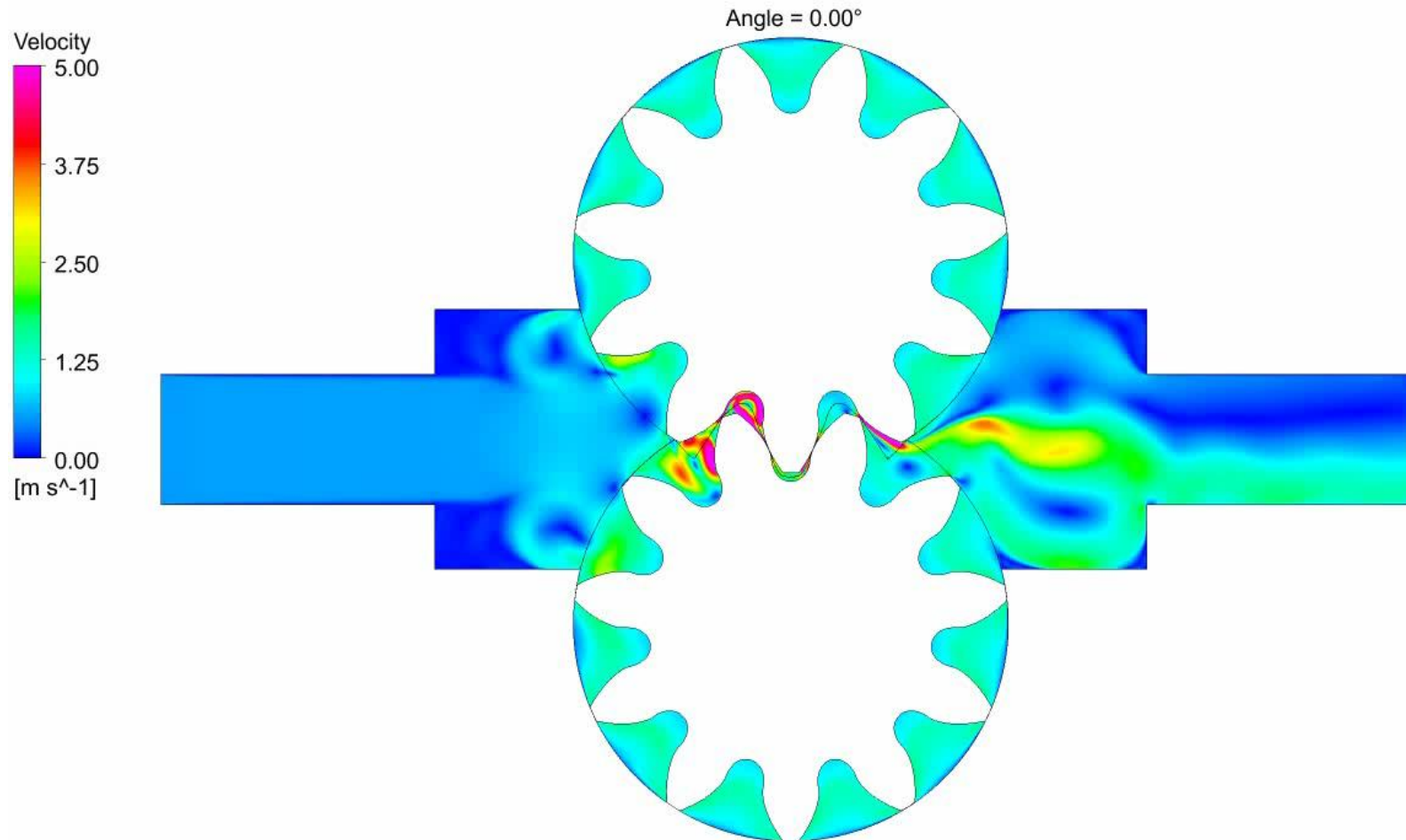
Auswertung Kammerdruck



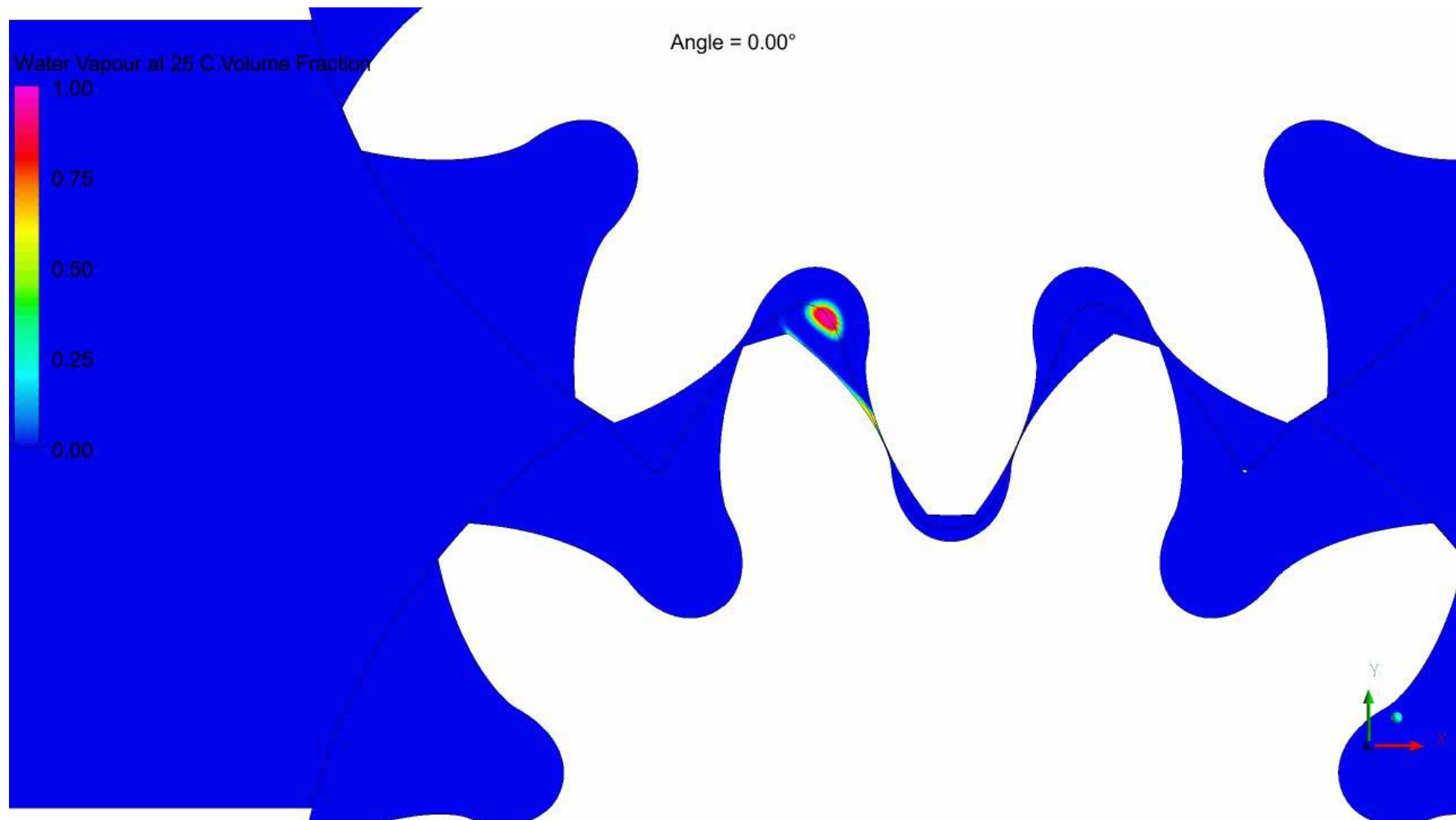
Auswertung Druckstöße



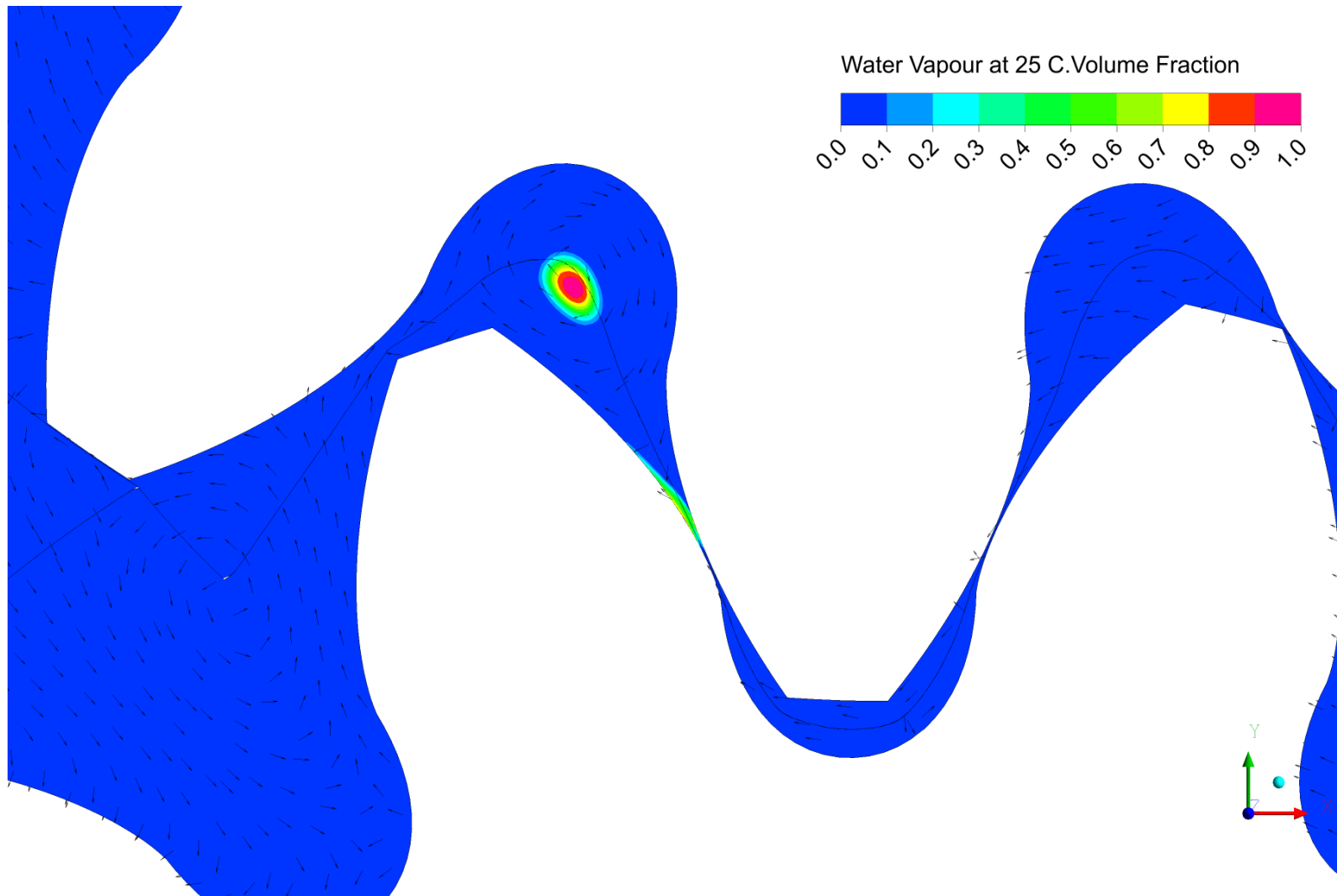
Auswertung Geschwindigkeit



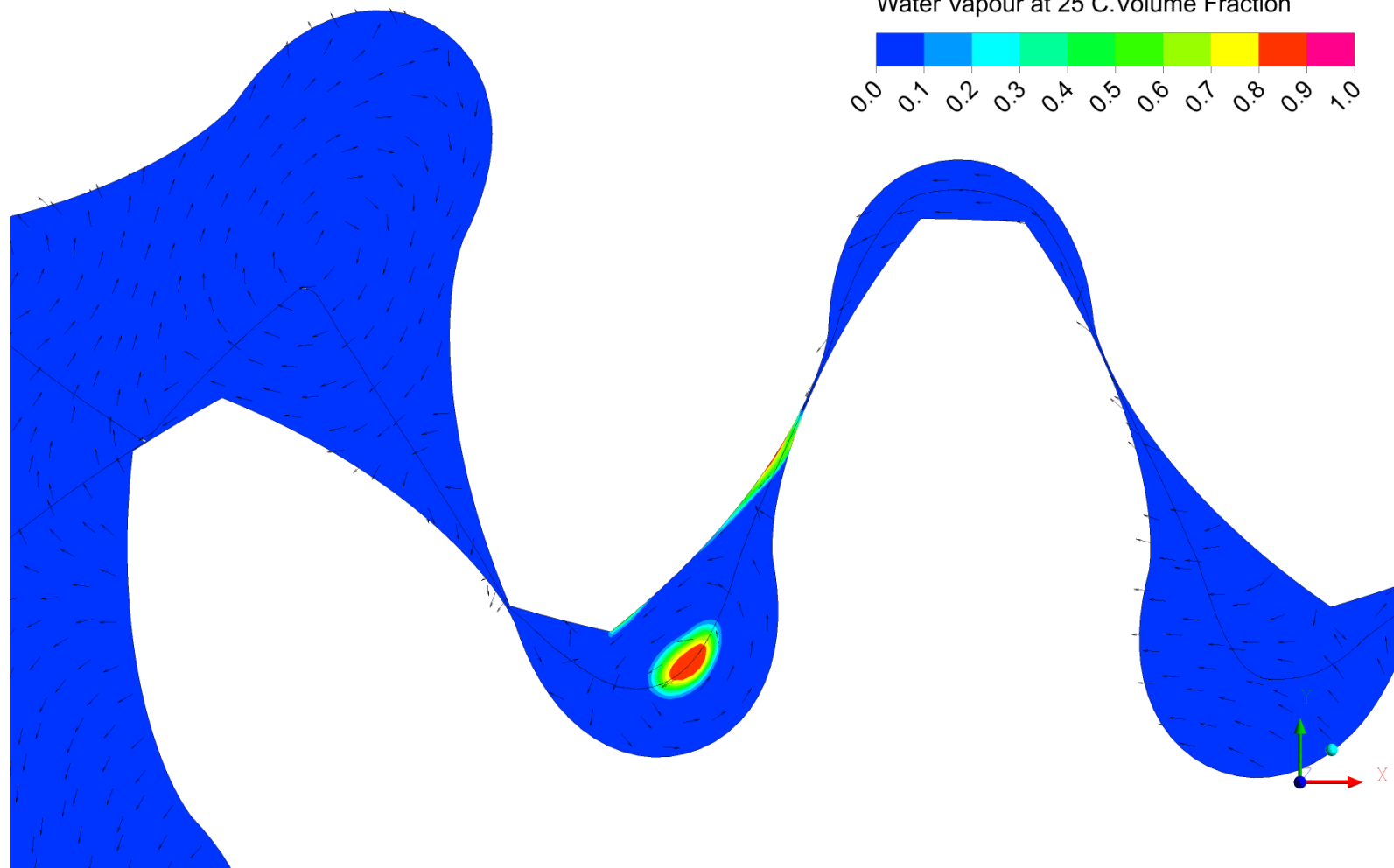
Auswertung Kavitation



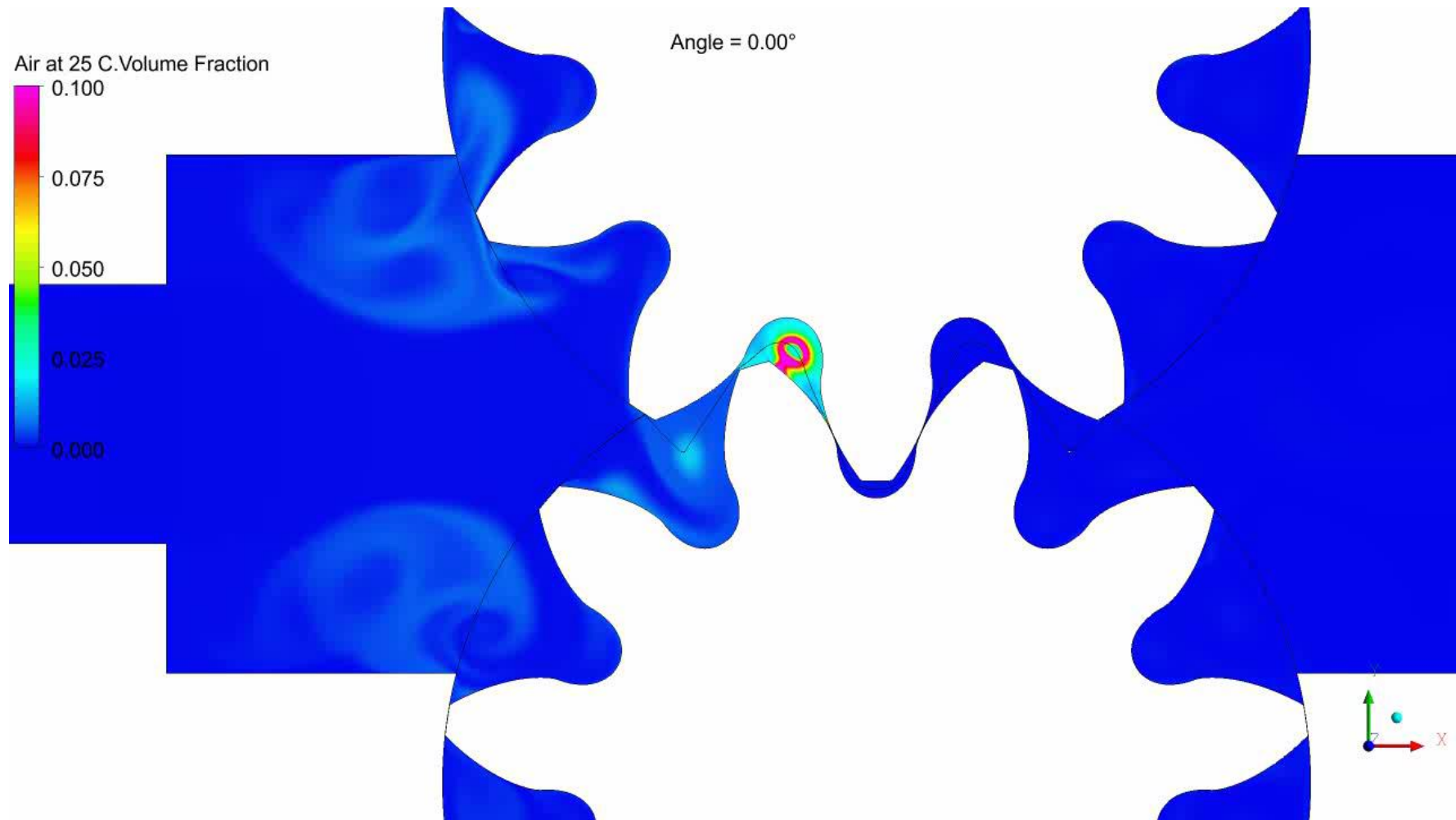
Auswertung Kavitation

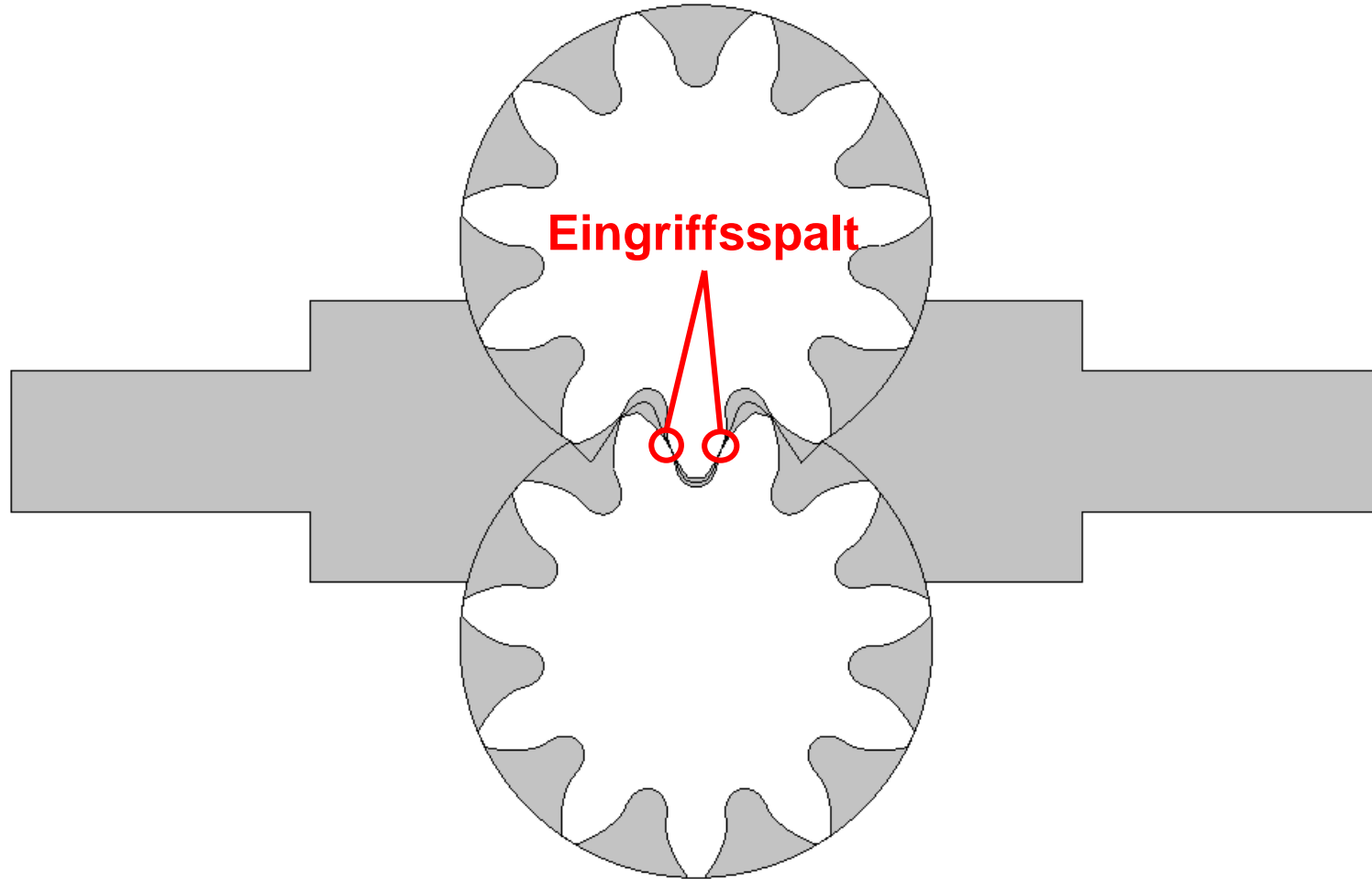


Auswertung Kavitation

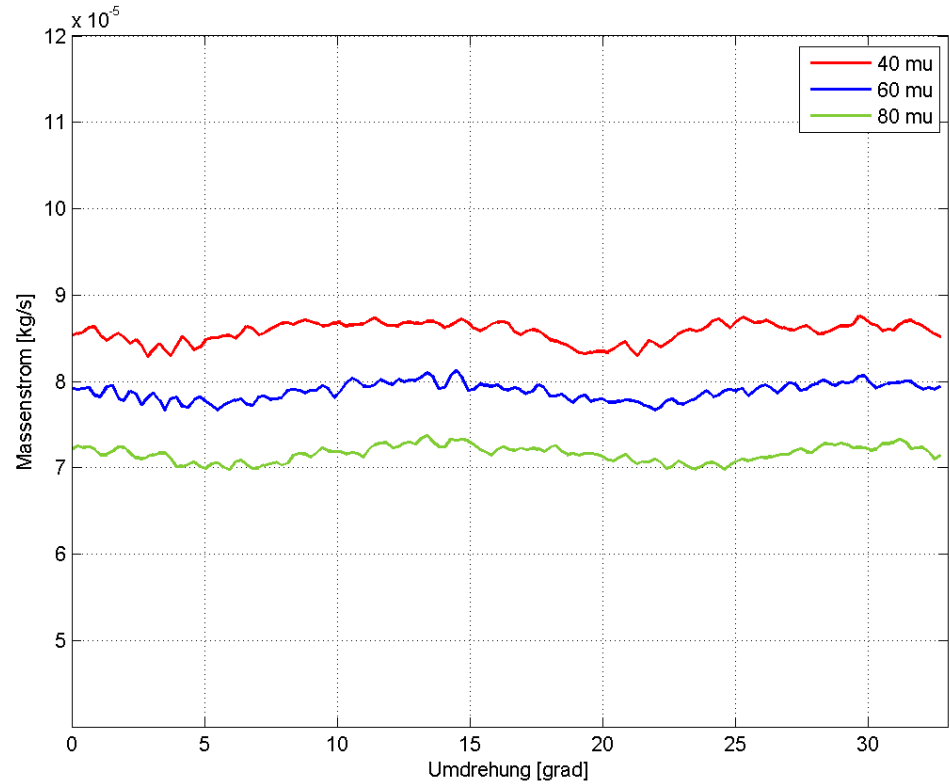
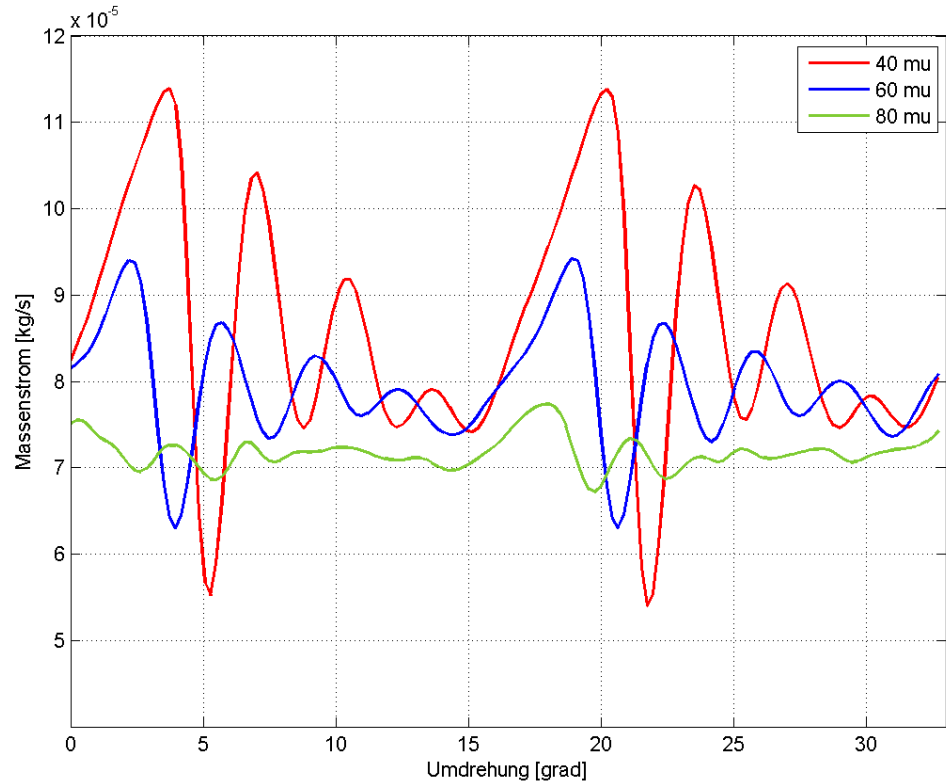


Auswertung Ausgasung

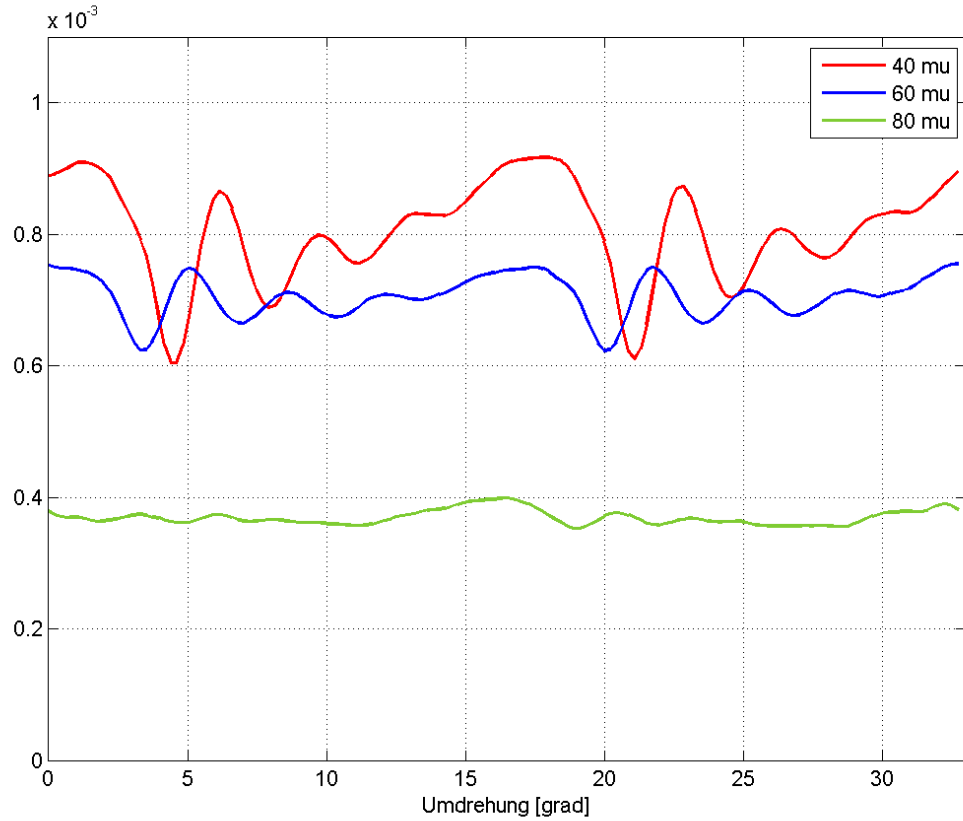
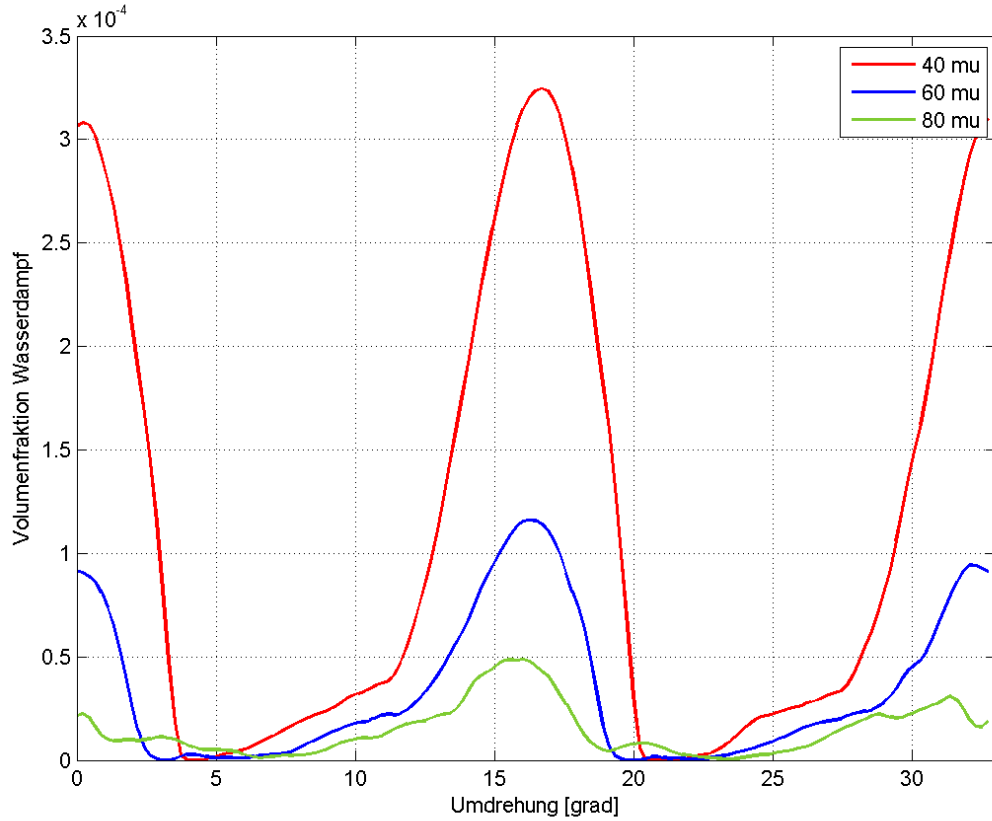




Spaltstudie Massenströme



Spaltstudie



- Durchführung einer 2D-Simulation mit dem Full-Cavitation-Model
 - Gitterstudie
 - Winkelschrittstudie
- Durchführung einer Spaltstudie
 - Einfluss auf die Performance
 - Einfluss auf das Kavitationsverhalten

Vielen Dank für Ihre Aufmerksamkeit!

farai.md.hetze@campus.tu-berlin.de